

## Examen d'algorithmique

Lundi 14 juin 2010 8h30/11h30 – Aucun document autorisé

### Exercice 1 : Arbres binaires de recherche – (6 points<sup>1</sup> :1/1/1/1/2)

On considère des arbres binaires avec les opérations habituelles : clé, FilsG, FilsD, EstVide.

1. Ecrire une procédure `Affiche-Clés-Feuilles( $a$ )` qui affiche les clés contenues dans les feuilles (c.-à-d. les noeuds contenant une clé et dont les deux sous-arbres sont des arbres vides) d'un arbre binaire  $a$ .
2. Appliquer l'algorithme `Truc` ci-dessous à l'arbre binaire de la figure 1.

**Procédure** `Truc( $a$ )`

```

begin
  si EstVide( $a$ ) alors
    retourner 0;
  sinon
    clé( $a$ ) := clé( $a$ ) + Truc(FilsG( $a$ )) + Truc(FilsD( $a$ ));
    retourner clé( $a$ );
end
    
```

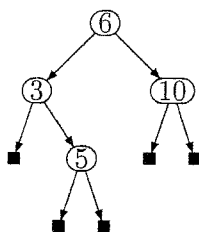


FIGURE 1 – Exemple pour la question 2.

3. Ecrire une fonction `Moyenne-Clé( $a$ )` qui retourne la *valeur moyenne* des clés contenues dans un ABR non vide  $a$ . Quelle est sa complexité ?
4. Etant donné un arbre binaire de recherche  $a$  (contenant des entiers) et deux entiers  $k_1$  et  $k_2$ , écrire une fonction `Extraire-ABR( $a, k_1, k_2$ )` qui retourne un *arbre binaire de recherche* contenant les clés de  $a$  comprises entre  $k_1$  et  $k_2$ .  
Evaluer sa complexité.
5. Soit  $a$  un arbre binaire contenant des clés distinctes dans chaque sommet. Montrer que  $a$  est un arbre binaire de recherche si et seulement si un parcours infixe de  $a$  affiche les clés dans l'ordre croissant.

### Exercice 2 : Graphes – (4 points :2/2)

1. Proposer un algorithme renvoyant, s'il existe, un circuit de longueur minimale passant par un sommet  $s$  donné dans un graphe  $G$ . Evaluer sa complexité.
2. Proposer un algorithme qui vérifie si un graphe non orienté et connexe possède un cycle. Evaluer sa complexité.

---

1. Le barème est donné à titre indicatif.

**Problème : Plus courts chemins – (10 points : 7/3)**

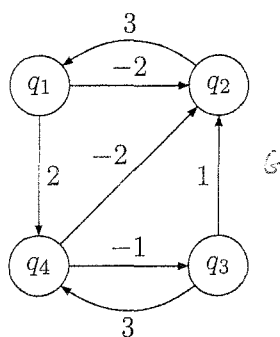
On s'intéresse au calcul des distances des plus courts chemins (PCC) dans un graphe orienté et valué  $G = (S, A, w)$ . L'objectif est de calculer, **lorsqu'elles existent**, ces distances pour toutes les paires de sommets : à la fin de l'algorithme, on veut connaître  $\delta_G(x, y)$  pour tout  $x, y \in S$  lorsque des PCC existent (comme en cours, on note  $\delta_G(x, y)$  la distance d'un PCC entre  $x$  et  $y$  dans  $G$ ). On rappelle en annexe les algorithmes de Dijkstra et de Bellman-Ford.

Etant donné un graphe  $G = (S, A, w)$ , on définit le graphe  $\bar{G} = (S', A', w')$  tel que  $S' \stackrel{\text{def}}{=} S \cup \{x_0\}$  où  $x_0$  est un nouveau sommet,  $A' \stackrel{\text{def}}{=} A \cup \{(x_0, u) \mid u \in S\}$  et :

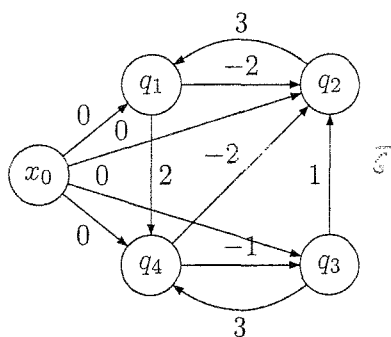
$$w'(u, v) \stackrel{\text{def}}{=} \begin{cases} w(u, v) & \text{si } u, v \in S \\ 0 & \text{si } u = x_0 \text{ et } v \in S \end{cases}$$

Et si  $f$  est une fonction qui associe à chaque sommet de  $S$  une valeur dans  $\mathbb{R}$  (c.-à-d.  $f : S \rightarrow \mathbb{R}$ ), on définit le graphe  $G_f = (S, A, w_f)$  où  $w_f(u, v) \stackrel{\text{def}}{=} w(u, v) + f(u) - f(v)$ .  $G_f$  a donc les mêmes sommets et les mêmes transitions que  $G$ , seuls les poids des arcs changent.

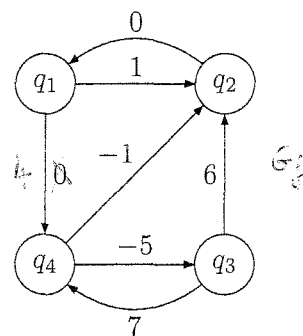
La figure 2 présente un graphe  $M$ , son graphe associé  $\bar{M}$  ainsi que le graphe  $M_g$  pour la fonction  $g$  suivante :  $g(q_1) = 2, g(q_2) = -1, g(q_3) = 4$  et  $g(q_4) = 0$ .



Le graphe  $M$



Le graphe  $\bar{M}$



Le graphe  $M_g$   
avec  $g(q_1) = 2, g(q_2) = -1$   
et  $g(q_3) = 4$  et  $g(q_4) = 0$

FIGURE 2 – Exemple

**1. Propriétés.** Pour les questions suivantes, on suppose donné un graphe  $G = (S, A, w)$  et une fonction  $f : S \rightarrow \mathbb{R}$ .

1.a Soit  $\rho = u \rightarrow \dots \rightarrow v$  un chemin de  $u$  à  $v$  dans  $G$  (et  $G_f$ ).

Montrer que  $\rho$  est un plus court chemin entre  $u$  et  $v$  dans  $G$  si et seulement si  $\rho$  est un plus court chemin de  $u$  à  $v$  dans  $G_f$ .

1.b Montrer que  $G$  contient un cycle strictement négatif si et seulement si  $G_f$  contient un cycle strictement négatif.

1.c Montrer que  $G$  contient un cycle strictement négatif si et seulement si  $\bar{G}$  contient un cycle strictement négatif.

2.a Donner les valeurs :  $\delta_{\bar{M}}(x_0, q_1), \delta_{\bar{M}}(x_0, q_2), \delta_{\bar{M}}(x_0, q_3)$ , et  $\delta_{\bar{M}}(x_0, q_4)$ .

2.b Construire le graphe  $M_h$  où  $h$  est la fonction suivante :  $h(q_i) \stackrel{\text{def}}{=} \delta_{\bar{G}}(x_0, q_i)$  pour  $i = 1, \dots, 4$ .

Pour les 3 questions suivantes (3.a, 3.b, et 3.c), on suppose donné un graphe  $G$  sans cycle strictement négatif.

On note  $h : S \rightarrow \mathbb{R}$  la fonction donnant la distance des PCC entre  $x_0$  et les sommets de  $S$  dans  $\overline{G}$  : c'est-à-dire  $h(u) = \delta_{\overline{G}}(x_0, u)$  pour tout  $u \in S$ . Et on va utiliser cette fonction pour le graphe  $G_h = (S, A, w_h)$  défini comme précédemment.

- 3.a Montrer que l'on a toujours  $w_h(u, v) \geq 0$  pour tout  $(u, v) \in A$  (NB : on rappelle qu'il n'y a pas de cycle strictement négatif dans  $G$ ).
- 3.b Quel algorithme faut-il utiliser pour trouver la distance d'un PCC entre  $u$  et  $v$  dans  $G_h$  ?
- 3.c Exprimer la distance d'un PCC entre  $u$  et  $v$  dans  $G$  (i.e.  $\delta_G(u, v)$ ) en fonction de la distance d'un PCC entre  $u$  et  $v$  dans  $G_h$  (i.e.  $\delta_{G_h}(u, v)$ ) et de la fonction  $h$ .

**2. Algorithme.** L'algorithme de Johnson est décrit par l'algorithme 1.

1. Appliquer l'algorithme de Johnson sur le graphe de la figure 2 (on ne détaillera pas les appels des procédures PCC-Bellman-Ford et PCC-Dijkstra).
2. Expliquer ce que fait cet algorithme. Que calcule-t-il ? Pourquoi utilise-t-il d'abord l'algorithme de Bellman-Ford ? Quelle est sa complexité ?
3. Pour le même objectif, quelle serait la complexité d'un algorithme qui n'utiliserait que Bellman-Ford pour les différents calculs ?
4. Quand l'algorithme de Johnson est-il plus intéressant que l'algorithme de Floyd ?

**Procédure Algo-Johnson( $G$ )**

//  $G = (S, A, w)$  : un graphe orienté, valué avec  $w : A \rightarrow \mathbb{R}$ .

**begin**

$D \stackrel{\text{def}}{=} \text{matrice}(S \times S)$  telle que  $d_{uv} \stackrel{\text{def}}{=} \infty$  pour tout  $u, v \in S$

$\overline{G} \stackrel{\text{def}}{=} \text{Graphe}(S \cup \{x_0\}, A \cup \{(x_0, u) \mid u \in S\}; \overline{w})$  avec  $\overline{w}(u, v) \stackrel{\text{def}}{=} \begin{cases} w(u, v) & \text{si } u, v \in S \\ 0 & \text{si } u = x_0 \end{cases}$

**si** PCC-Bellman-Ford( $\overline{G}, x_0, d$ ) == Faux **alors**

| **Afficher**("le graphe  $G$  contient un cycle strictement négatif.")

**sinon**

soit  $h(v) \stackrel{\text{def}}{=} d(x_0, v)$  pour tout  $v \in S$

soit  $w_h(u, v) \stackrel{\text{def}}{=} w(u, v) + h(u) - h(v)$  pour tout  $u, v \in S$

$G_h \stackrel{\text{def}}{=} \text{Graphe}(S, A, w_h)$

**pour chaque**  $u \in S$  **faire**

| PCC-Dijkstra( $G_h, u, d$ )

| **pour chaque**  $v \in S$  **faire**  $d_{uv} := d[v] + h(v) - h(u)$

**return**  $D$

**end**

**Algorithme 1** : algorithme de Johnson

## Annexe

On rappelle ici les algorithmes de Dijkstra et de Bellman-Ford vus en cours et en TD. Ici on ne s'intéresse qu'aux distances et non aux chemins, on n'utilise donc pas le tableau des prédécesseurs  $\Pi$ .

Pour ces deux algorithmes, on suppose que  $d[-]$  est une variable (un tableau indicé par les éléments de  $S$ ) utilisée pour stocker les résultats, c'est-à-dire les distances des PCCs : après l'appel de ces fonctions,  $d[v]$  contient la distance d'un PCC entre  $s$  et  $v$ .

L'algorithme 2 décrit l'algorithme de Dijkstra, il utilise une file de priorité  $F$  avec une fonction de mise à jour "étendue" (MaJ-F-Dijkstra) lorsque l'on diminue la priorité d'un élément (le tableau `IndiceDansF` sert alors à accéder directement à la position dans  $F$  de cet élément). Cette opération se fait en temps  $O(\log(n))$  où  $n$  est le nombre d'éléments dans  $F$ . Et la création de la file se fait en temps  $O(n)$ .

```

Procédure PCC-Dijkstra( $G, s, d$ )
// $G = (S, A, w)$  : un graphe orienté, valué avec  $w : A \rightarrow \mathbb{R}_+$ .
// $s \in S$  : un sommet origine.
// $d$  : un tableau indicé par  $S$  pour stocker les résultats
begin
  pour chaque  $u \in S \setminus \{s\}$  faire  $d[u] := \infty$ 
   $d[s] := 0$ 
   $F := \text{File}(S, d, \text{IndiceDansF})$ 
  tant que  $F \neq \emptyset$  faire
     $u := \text{Extraire-Min}(F)$ 
     $\text{IndiceDansF}[u] := -1$ 
    pour chaque  $(u, v) \in A$  faire
      si  $d[v] > d[u] + w(u, v)$  alors
         $d[v] := d[u] + w(u, v)$ 
         $\text{MaJ-F-Dijkstra}(F, d, v, \text{IndiceDansF})$ 
  end

```

Algorithme 2 : algorithme de Dijkstra

```

Fonction PCC-Bellman-Ford( $G, s, d$ ) : booléen
// $G = (S, A, w)$  : un graphe orienté, valué avec  $w : A \rightarrow \mathbb{R}$ .
// $s \in S$  : un sommet origine.
// $d$  : un tableau indicé par  $S$  pour stocker les résultats
begin
  pour chaque  $u \in S \setminus \{s\}$  faire  $d[u] := \infty$ 
   $d[s] := 0$ 
  pour chaque  $i = 1 \dots |S|$  faire
    pour chaque  $(u, v) \in A$  faire  $d[v] := \min(d[v], d[u] + w(u, v))$ 
  pour chaque  $(u, v) \in A$  faire
    si  $d[v] > d[u] + w(u, v)$  alors
      return Faux
  return Vrai
end

```

Algorithme 3 : algorithme de Bellman-Ford